

## تولید کلون و بررسی بیان توالی همپوشانی از ژن NS3 ویروس هپاتیت C به وسیله سازه بیانی DNA

سید یونس حسینی<sup>۱</sup>، فرزانه صباحی<sup>۲\*</sup>، محمد حسین مدرسی<sup>۳</sup>، سید محمد مؤذنی<sup>۴</sup>، مهدی صابری فیروزی<sup>۵</sup>،  
مهرداد روانشاد<sup>۶</sup>، داود مهرابانی<sup>۷</sup>، مجید مجرد<sup>۸</sup>

- ۱- دانشجوی دکتری تخصصی، گروه ویروس‌شناسی، دانشکده علوم پزشکی، دانشگاه تربیت مدرس، تهران، ایران
- ۲- دانشیار، گروه ویروس‌شناسی، دانشکده علوم پزشکی، دانشگاه تربیت مدرس، تهران، ایران
- ۳- دانشیار، گروه ژنتیک پزشکی، دانشکده پزشکی، دانشگاه علوم پزشکی تهران، ایران
- ۴- استاد، گروه ایمنی‌شناسی، دانشکده علوم پزشکی، دانشگاه تربیت مدرس، تهران، ایران
- ۵- دانشیار، مرکز تحقیقات گوارش و کبد، دانشگاه علوم پزشکی شیراز، شیراز، ایران
- ۶- استادیار، گروه ویروس‌شناسی، دانشکده علوم پزشکی، دانشگاه تربیت مدرس، تهران، ایران
- ۷- استادیار، مرکز تحقیقات گوارش و کبد، دانشگاه علوم پزشکی شیراز، شیراز، ایران
- ۸- استادیار، گروه ژنتیک پزشکی، دانشکده پزشکی، دانشگاه علوم پزشکی تهران، تهران، ایران

دریافت مقاله: ۸۹/۰۸/۱۹  
پذیرش مقاله: ۸۹/۰۹/۲۹

### چکیده

هدف: هدف تولید یک سازه بیان کننده توالی یک ناحیه همپوشان از ژن NS3 از ویروس ایزوله ایرانی است.  
مواد و روش‌ها: ابتدا بخش میانی ژن NS3 با روش Nested-RT-PCR و با استفاده از سرم بیمار مبتلا به ژنتوتیپ ۱a ویروس هپاتیت C تکثیر شد. بعد از کلون آن درون ناقل کلونینگ TA و غربالگری کلون‌ها برآساس روش سفید-آبی و Colony-PCR این کلون‌های منتخب با روش تعیین توالی و هضم آنزیمی با BglIII ارزیابی شد. توالی جدید با استفاده از نرم‌افزار با توالی‌های دیگر مرجع مقایسه و درخت تکاملی ترسیم شد. بخش میانی ژن NS3 تأیید شده و سپس به درون سازه بیانی، کلون شد و کلون‌های مناسب با استفاده از دو نوع Colony-PCR شناسایی شد. ارزیابی نهایی بیان ژن با مشاهده GFP توسط میکروسکوپ فلورسانس، روش RT-PCR و وسترن بلاط روی سلول‌های ترانسفکت شده با سازه بیانی تأیید شد.

نتایج: توالی میانی NS3 از روی سرم بیمار تکثیر و نتایج توالی‌بایی و مقایسه ژنی نشان داد که این توالی به توالی‌های مرجع شاهدت داشته و در شاخه ژنتوتیپ ۱ ویروس هپاتیت C قرار دارد. با روش Colony-PCR وجود و نیز جهت ژن درون پلاسمید بیانی تأیید شد. مشاهده GFP توسط میکروسکوپ فلورسانس، روش RT-PCR و وسترن بلاط به ترتیب نمایانگر انتقال موفق سازه، بیان ژن و نیز تولید پروتئین در سلول‌های ۲۹۳ بود.

نتیجه‌گیری: سازه بیانی حاوی بخش میانی ژن NS3 که بایستی قادر فعالیت پروتئازی باشد، نسبت به طول کامل ژن NS3 می‌تواند در القای بهتر ایمنی توسط سلول‌های عرضه کننده آنتی ژنی در موارد واکسن ویروس هپاتیت C مفیدتر واقع شود.

کلیدواژگان: سازه DNA، ویروس هپاتیت C، ژن NS3

آنتی ژن مناسبی در واکسن‌های DNA علیه ویروس به کار رفته است [۴، ۱۲]. در یک مطالعه پیش‌بالینی، تزریق واکسن DNA حامل ژن‌های غیرساختاری NS3، NS4، NS5 به صورت رژیم یادآور منجر به افزایش ایمنی و تحریک طیف زیادی از سلول‌های CD<sub>4</sub> و CD<sub>8</sub> در مدل شامپانزه شد [۵، ۱۲]. در سال ۲۰۰۸ میلادی، یک گروه سوئدی به سرپرستی پروفسور سالبرگ (Sallberg) (با کمک شرکت Tripep اولین واکسن درمانی بیان کننده دو ژن NS3-NS4 را در اولین کارآزمایی بالینی روی بیماران فرم مزمن ارزیابی نمودند و نشان دادند که لغوفویت‌های اختصاصی پس از ۴ تجویز مجرماً به طور مناسبی تکثیر و گسترش یافته و نقش شوک الکتریکی پس از تجویز در افزایش جذب سازه‌های ژنی و کارایی واکسن بسیار مؤثر است [۵، ۱۳].

محصول ژن NS3 یک پروتئین دوکاره با خاصیت آنژیمی پروتئازی-هیلیکازی است [۱۴] که همواره به عنوان آنتی ژن مناسبی در طراحی‌های واکسن برای HCV به کار می‌رود [۵، ۱۲]. مطالعات نشان می‌دهد که ایمنی علیه این پروتئین در بیمارانی که ویروس را پاک‌سازی کرده‌اند، یافت می‌شود؛ بنابراین این ایمنی از اهمیت زیادی برخوردار است [۱۵]. با این حال از نظر تئوریک به دلیل وجود خاصیت پروتئازی-هیلیکازی پروتئین، احتمال تداخل آن‌ها در عملکرد سلول‌های عرضه کننده آنتی ژن اختصاصی (Antigen-Presenting Cells) APCs به دلیل بیان داخل سلولی به دنبال تجویز DNA واکسن وجود دارد. مطالعات اخیر نشان داده‌اند که بیان طول کامل ژن NS3 در سلول‌های دندریتیک انسانی (Human Dendritic Cells) می‌تواند منجر به کاهش عملکرد، نقص فنوتیپی یا مرگ برنامه‌ریزی شده (Apoptosis) این سلول‌ها در لوله آزمایش شود [۱۶، ۱۷]. از این رو با به کارگیری قسمتی از ژن با خاصیت ایمنی‌زاوی به جای طول کامل ژن و حذف فعالیت آنژیمی ژن می‌توان باعث ارتقای ایمنی سلولی توسط واکسن طراحی شده گردید [۱۸].

در بررسی حاضر با هدف ساخت یک سازه ژنی حاوی

## ۱- مقدمه

تاکنون واکسن مؤثری برای پیشگیری از ویروس هپاتیت C (Hepatitis C Virus) HCV یا ویروس همچنان از مشکلات مهم بهداشتی به‌عنوان واکسن در [۱]. طراحی و ساخت سازه‌های مختلف به عنوان واکسن در بیماری هپاتیت نوع C همواره از مهم‌ترین اولویت‌های دانشمندان برای کنترل عفونت محسوب می‌شود.

تاکنون از سیستم‌های رهاسازی مختلف، ژن‌های گوناگون و نیز سازه‌های متنوعی برای القای ایمنی قدرتمند علیه ویروس HCV با هدف درمانی-پیشگیری استفاده شده است [۱، ۲]. از بین کاندیدهای مورد استفاده به عنوان واکسن کننده ژن‌های مختلف ویروس، پپتیدها و پروتئین‌های نوترکیب اشاره کرد.

پس از گذشت سال‌ها از ایده به کارگیری DNA واکسن‌ها (واکسن‌های ژنی) به عنوان ابزاری به منظور ایجاد ایمنی بر ضد عوامل بیماری‌زا [۳] آزمون و خطاهای بسیاری روی کارایی این نوع واکسن‌ها به عمل آمده است [۴، ۵]. در مقایسه با دیگر واکسن‌ها، واکسن‌های ژنی دارای مزایای فراوانی نظیر طراحی و ساخت آسان، تحریک هر دو بازوی سیستم ایمنی، پایداری ساختار در شرایط دمایی و تولید پروتئین مورد نظر درون سلول است [۴، ۵]. بیان درون سلولی آنتی ژن منجر به عرضه آن بر سطح مولکول‌های Major Histocompatibility Complex (MHC) کلاس یک و تحریک لغوفویت‌های CD<sub>8</sub><sup>+</sup> خواهد شد که از مهم‌ترین مزایای استفاده از DNA واکسن‌ها است [۴، ۵]. اما با این حال با وجود معایبی چون کارایی پایین آن در انسان [۵]، امروزه پژوهش‌های گسترده‌ای به منظور افزایش کارایی این نوع واکسن‌ها در انسان در جریان است [۶-۸].

تاکنون سازه‌های پلاسمیدی حامل ژن‌های مختلف ویروس HCV به عنوان واکسن درمانی-پیشگیری برای ایجاد، راهاندازی یا ارتقای ایمنی علیه ویروس به کارگرفته شده است [۱-۹]. ژن‌های غیرساختاری به خصوص ژن NS3 (Non-Structural 3) ویروس به دلیل توالی حفاظت شده خود همواره به عنوان

نرم افزار Clustal X، Bioedit و Hmmerدیفی (Alignment) توالی‌ها انجام و سپس با استفاده از نرم افزار Generunner و Primer3 طراحی آغازگر برای بخش میانی در بر گیرنده پایانه C-Terminal (C) دومین پروتئاز و پایانه N دومین هلیکاز ژن NS3 ویروس HCV انجام شد. حین استخراج توالی‌های ژنومی HCV از بانک داده‌ها، ژنوتیپ ۱ ویروس را در اولویت قرار داده، و حین طراحی آغازگر نیز توالی آن به‌گونه‌ای انتخاب شد که در واکنش تکثیری PCR بیشتر ژنوتیپ ۱a را در سرم بیماران شناسایی و تکثیر نماید. همچنین در قسمت انتهای ۵ آن‌ها، جایگاه برش آنزیمی برای Bg/II و کدون آغاز و اختتام ترجمه نیز اضافه شد. نام، فرمول، موقعیت، قطبیت (Polarity) و طول آغازگرهای یاد شده در جدول ۱ آمده است.

بخشی از NS3 بدون فعالیت پروتئازی، قسمتی از مرکز ژن که دو سوم انتهایی پروتئاز و قسمت کوچکی از هلیکاز را در بر می‌گیرد، تکثیر و درون یک سازه بیانی کلون شد. این پلاسمید حاوی بخشی از ژن NS3 است که می‌تواند در طراحی واکسن علیه HCV کاربرد بیشتری داشته باشد.

## ۲- مواد و روش‌ها

### ۲-۱- طراحی آغازگر (Primer)

ابتدا ترادف کامل جدایه‌های مختلف از جمله توالی‌های مرجع ژنوتیپ‌های شش گانه ویروس HCV را از بانک‌های مرجع داده مثل (National Center for Biotechnology Information) NCBI و Los Alamos تهیه و با یکدیگر هم‌ردیف شد. با استفاده از

جدول ۱ نام، فرمول، موقعیت، قطبیت و طول آغازگرهای مورد استفاده در تحقیق در جدول مشخص است. توالی مرجع برای مقایسه با توالی آغازگر در این مطالعه توالی سوش H77 ویروس HCV بود.

آغازگر	عملکرد	موقعیت	توالی ۳'-۵'
NS3-1F	مرحله اول تکثیر	۳۵۱۰-۳۴۹۱	GGGACAAAAACCAAGTGGAG
NS3-2R	مرحله اول تکثیر	۴۷۷۱-۴۷۵۳	GCGTGGTTGTCTCAATGGT
NS3-3F	مرحله دوم تکثیر	۳۶۴۲-۳۶۲۵	<u>GGAAGATCTATGGGTCTGTCATCCAGATG</u>
NS3-4R	مرحله دوم تکثیر	۴۷۹۸-۴۷۷۹	<u>GGAAGATCTTCAGAGCTCGCACTTCTTCT</u>
آغازگر CMV	تشخیص جهت ژن درون سازه	۱۴۵۴-۱۴۳۴	TGTGGCAGGCTTGAGATCCAGCT

Cytomegalovirus :CMV

(Reverse) R: برگشتی

F: جلویی (Forward)

. (Optical Density: OD) اندازه‌گیری شد.

برای انجام روش رونویسی معکوس یا RT-PCR برای انجام روش رونویسی معکوس یا (Reverse Transcriptase- PCR) از روی RNA ویروسی با استفاده از آنزیم Mulv شرکت Fermentas و مطابق پیشنهادات آن همه اجزای واکنش شامل dNTPs، بافر آنزیم، راندوم هگزامر، ممانعت کننده آنزیم ریبونوکلئاز و آنزیم Mulv پس از مخلوط شدن در لوله آزمایش، برای مدت ۶۰ دقیقه در ۴۲ درجه سانتی‌گراد درون دستگاه ترموسایکلر (Thermocycler) تکه‌داری شد تا DNA مکمل ساخته شود.

### ۲-۲- انجام Nested-RT-PCR برای تکثیر بخشی

#### از ژن NS3 (pNS3) NS3

نمونه سرم ۴ بیمار با ژنوتیپ ۱a که در فریزر -۷۰ درجه سانتی‌گراد نگهداری می‌شد از آزمایشگاه مرکز تحقیقات گوارش و کبد شریعتی با همکاری آقای دکتر شاهین مرات تأمین شد. RNA ویروسی از این سرم‌ها با استفاده از کیت Qiagen و مطابق با توصیه شرکت سازنده استخراج و سپس با استفاده از دستگاه بیوفتوسومتر (Biophotometer) مدل اپندورف (Eppendorf) غلظت آن با قرائت جذب نوری

اتصال با کمک آنزیم T4 لیگاز شرکت N.E.Biolab متصل شدند. پس از ترانسفورماسیون (Transformation)، کلونی‌های رشد یافته روی پلیت کشت LB (Luria Bertani) جامد براساس غربالگری آبی/سفید بررسی شد. سپس روی کلونی‌های سفید، برای غربالگری و تأیید وجود ژن pNS3 روش Colony PCR انجام پذیرفت. در این روش ابتدا باکتری‌ها توسط حرارت بالای ۹۵ درجه سانتی‌گراد در ترموبلاک (Thermoblock) لیز شده و به دنبال یک سانتریفیوژ ۱۲۰۰۰ دور، روی ۱ میکرولیتر سوب رویی حاوی پلاسمید باکتری Colony PCR برای شناسایی وجود ژن انجام گرفت.

در انتهای این مرحله پس از استخراج پلاسمید نوترکیب با کمک کیت، الکتروفوروز آن روی ژل آگارز و تعیین غلظت آن با دستگاه بیوفوتومتر، از آن برای انجام هضم آنزیمی با Bgl/II در مقیاس کم استفاده شد و وجود ژن مورد نظر در ناقل TA تأیید شد. برای تخلیص پلاسمید از کیت استخراج در مقیاس کم یا مینی پرپ (Miniprep) شرکت Bioneer کره استفاده شد. اساس این سیستم بر لیز قلیایی باکتری و اتصال پلاسمیدها به غشای سیلیکا ژل استوار است. این روش به ترتیب شامل لیز باکتری‌ها، اتصال پلاسمیدها به غشای سیلیکا ژل و سپس آزادسازی پلاسمیدها از غشا با کمک آب است.

#### ۴-۲- تأیید با تعیین توالی

برای تأیید نهایی ویررسی عدم وجود جهش در ژن pNS3 نمونه پلاسمید نوترکیب انتخابی، پس از استخراج پلاسمید توسط کیت، تعیین توالی دوطرفه با استفاده از دو آغازگر داخلی طراحی شده با نام‌های NS3-3F و NS3-3R در شرکت ABI PRISM® SEQLAB آلمان و بهوسیله دستگاه Genetic Analyzer انجام پذیرفت. پس از حصول اطمینان از وجود ژن سالم و کارا در ناقل کلونینگ، باکتری واجد پلاسمید نوترکیب در حجم انبوه کشت داده شد و استخراج پلاسمید نیز در مقیاس بیشتر انجام شد.

سپس این محصول به عنوان الگو در دو مرحله واکنش PCR برای تکثیر بخشی از ژن NS3 یا pNS3 استفاده شد. غلظت مواد مورد استفاده در هر دو واکنش PCR از جمله آغازگرهای عنوان شده در جدول ۱ براساس واکنش استاندارد PCR تنظیم شد با این تفاوت که غلظت آغازگر در مرحله اول نصف میزان آن در مرحله دوم یعنی ۰/۲ میکرومول در نظر گرفته شد. پس از مخلوط کردن کلیه مواد مورد نیاز بر طبق روش استاندارد [۱۹] با آنزیم HL Taq از شرکت Bioneer، PCR شامل مرحله اول ۲۰ و مرحله دوم ۳۰ دقیقه ۹۵ درجه گرفت. در هر دو مرحله از برنامه PCR شامل ۳ دقیقه ۹۴ سانتی‌گراد، سپس چرخه‌های مورد نظر به صورت ۱ دقیقه درجه سانتی‌گراد، ۴۵ ثانیه دمای ۶۵ درجه سانتی‌گراد برای دورگه شدن و ۱ دقیقه دمای بسط ۷۲ درجه سانتی‌گراد و در انتها یک دمای بسط نهایی ۷۲ درجه سانتی‌گراد ۳ دقیقه‌ای برای تکثیر قطعات استفاده شد.

محصولات PCR مرحله دوم در کنار نشانگر DNA روی ژل آگارز ۱ درصد با ولتاژ ۸۰ ولت الکتروفوروز شد. با توجه به شدت باند، در نهایت یکی از این ۴ محصول مربوط به PCR روی سرم بیماران انتخاب و در مقیاس زیاد (به میزان ۱۵۰ میکرولیتر) مجدداً تولید شد. محصول نهایی PCR با استفاده از کیت تخلیص از ژل مربوط به شرکت Bioneer کره از روی ژل آگارز با غلظت نیم درصد و براساس توصیه شرکت سازنده استخراج شد.

#### ۴-۳- کلون کردن محصول PCR ژن به درون

##### ناقل کلونینگ

در این پژوهش از کلونینگ ناقل خطی pTZ57R/T شرکت Fermentas بهمنظور کلون کردن مستقیم DNA تکثیر یافته طی واکنش PCR استفاده شد. بدین طریق که ابتدا محصول PCR تخلیص شده از ژل را به نسبت ۵ به ۱ غلظت مولی با ناقل خطی تجاری مخلوط و سپس با استفاده از واکنش

RNA پیک دو سیسترونی تا حدی نشانگر تولید پروتئین تحت هدایت پروموتور CMV یا ویروس سیتومگال نیز هست. برای این کار ابتدا پلاسمید TA-pNS3 توسط آنزیم *Bg*/II هضم و پس از تأیید برش، ژن بریده شده از روی ژل بازیابی شد. سپس واکنش اتصال با کمک آنزیم T4 لیگاز بین ژن تخلیص شده و سازه IRES خطی شده با آنزیم *Bg*/II در دمای اتاق و مطابق توصیه شرکت سازنده انجام گرفت. به دنبال ترانسفورم کردن محصول واکنش اتصال به درون باکتری های مستعد DH5- $\alpha$ ، براساس مقاومت به کانامایسین (Kanamycin) و نیز دو نوع Colony-PCR کلونی های مثبت انتخاب شد. در نوع دوم PCR با استفاده از آغازگرهای اختصاصی پروموتور CMV، جهت درست ژن درون سازه IRES-pNS3 ارزیابی شد که در حقیقت تأییدی بر Colony-PCR اول نیز بود. برای انجام این PCR جدید از روش Touch-down با ۳۰ چرخه تکثیری و در محدوده دمایی ۶۵-۵۵ درجه سانتی گراد (با افت دمایی ۲ درجه به ازای هر ۵ چرخه) بهره گرفته شد. مواد مورد استفاده در واکنش فوق نیز مشابه مواد مصرفی در یک PCR استاندارد به همراه آنزیم *Taq* پلیمراز شرکت Fermentas بود. برنامه PCR شامل ۳ دقیقه ۹۵ درجه سانتی گراد، سپس چرخه های مورد نظر به صورت ۱ دقیقه ۹۴ درجه سانتی گراد، ۵۰ ثانیه محلوده دمایی ۶۵-۵۵ درجه سانتی گراد برای دورگه شدن و ۷۰ ثانیه دمای بسط ۷۲ درجه سانتی گراد و در انتهای یک دمای بسط ۷۲ درجه سانتی گراد ۵ دقیقه ای برای تکثیر قطعات استفاده شد. کلون مناسب حاوی سازه بیانی IRES-pNS3 با این دو روش انتخاب، در مقیاس انبوه تکثیر و پلاسمید استخراج شد.

## ۷- بررسی بیان ژن توسط سازه نوترکیب IRES-pNS3

در این پژوهش از رده سلولی HEK293 (رده سلولی کلیه جنین انسانی) نگهداری شده در بانک سلولی انسیتیو پاستور ایران استفاده شد. این سلول در محیط DMEM حاوی

## ۲-۵- بررسی نتایج تعیین ترادف و تجزیه و تحلیل فیلوژنتیک

قبل از شروع تجزیه و تحلیل ترادف کامل جدایه های مختلف توالي های مرجع ویروس HCV موجود در بانک داده Los Alamos تهیه و سپس با کمک نرم افزار با یکدیگر هم رדיاف شد. توالي ژن pNS3 تعیین توالي شده توسط نرم افزار Chromas تصحیح شد. در این تجزیه و تحلیل ابتدا کلیه نتایج تعیین توالي ژن ها توسط برنامه BioEdit و CLUSTAL X که خاص دسته بندي و هم رديفي چندگانه (Multiple Alignment) توالي است، منظم شد. فاصله ژنتیکي به وسیله ماتریکس Kimura-two Parameter درخت فیلوژنتیک به وسیله روش NJ (Neighbor-Joining) که متداول ترین روش است با نرم افزار Mega3 ترسیم شد. برای ارزیابی روش، با انجام ۵۰۰ بار رسماپلینگ بوت استارت (Resampling Bootstrap) درستی درخت فیلوژنتیک ترسیم شده ارزیابی شد.

## ۶- ساب کلون کردن ژن pNS3 در ناقل بیانی

در این مرحله ژن مورد نظر در سازه بیانی مناسب کلون شد تا بتواند در سلول های یوکاریوت منجر به بیان پروتئین pNS3 pAdenoVator-CMV5- شود. در این پژوهش از سازه بیانی Q.Biogene IRES-GFP از شرکت (Internal Ribosome Entry Site) IRES که برای راحتی آن را شد. این پلاسمید حاوی پروموتور ژن های اولیه CMV5 (Bovine Growth Hormone) مربوط به A مربوط به (ColE1) است و در جایگاه کلون سازی آن محل اثر آنزیم *Bg*/II جای سازی شده است. وجود توالي ژن GFP (Green Fluorescent Protein) یا پروتئین سبز فلورسانس تحت هدایت توالي IRES از دیگر خصوصیات این ناقل است که علاوه بر یک کنترل برای ارزیابی ترانسفکشن (Transfection) سازه، به دلیل تولید یک

## ۲-۸- ارزیابی بیان پروتئین با وسترن بلات (Western Blot) و الکتروفورز پروتئین‌ها در ژل پلی آکریل آمید

برای بررسی حضور پروتئین از روش SDS-PAGE (Sodium Dodecyl Sulfate Polyacrylamide Gel Electrophoresis) مطابق برنامه‌های متداول استفاده شد [۲۰]. در این پژوهش از ژل درصد برای قسمت جدا کننده و از ژل ۵ درصد برای قسمت متراکم کننده استفاده شد. بعد از باز شدن ساختار پروتئین با بافر نمونه‌گذاری حاوی ۲-مرکاپتوتانول و سدیم دودسیل سولفات و قرار دادن نمونه در حرارت جوش، پروتئین‌ها روی چاهک‌های ژل بارگذاری شده و سپس با لیپوفکتامین ۲۰۰۰ (Lipofectamine 2000) مخلوط و براساس برنامه پیشنهادی شرکت Invitrogen به این سلول‌ها ترانسفکت شد. ۴۸ ساعت پس از آلووده‌سازی، ابتدا ارزیابی بیان GFP توسط میکروسکوپ فلورسانس انجام گرفت و به دنبال آن سلول‌ها جمع‌آوری و پس از شستشو با بافر سالین فسفاته یا PBS سرد برای بررسی mRNA و نیز تولید پروتئین در دولوله مجزا تقسیم شد.

برای استخراج RNA از سلول‌ها، از کیت استخراج RNA با نام تجاری RNase-Plus (CinnaGen) استفاده شد. با استفاده از آنزیم دزوکسی ریبونوکلئاز I (DNase I) آلوودگی احتمالی با بقایای DNA سازه یا سلول حذف شد. تهیه شده برای ارزیابی کیفیت روی ژل آگارز ۱ درصد الکتروفور و سپس به عنوان الگو در واکنش پلیمراز معکوس (RT) استفاده شد.

با استفاده از آنزیم Mulv و مخلوط راندوم هگزامر به علاوه الیگوتیمیدین تجاری در روش RT-PCR از روی mRNA های سلولی یک کتابخانه cDNA ساخته شد که سپس این محصول به عنوان الگو در واکنش PCR اختصاصی با آغازگرهای داخلی مرحله دوم PCR (جدول ۱) استفاده شد. به دنبال مخلوط کردن مواد واکنش، آنزیم ترانسکریپتاز معکوس MulV آغازگر مورد نظر را شناسایی و با استفاده از بافر و مخلوط dNTPs و رشتہ الگو، شروع به طویل‌سازی و پلیمراز اسیون می‌نماید.

## ۳- نتایج

### ۳-۱- نتیجه حاصل از Nested-RT-PCR روی سرم یمار پس از انجام روش RT-PCR محصول DNA مکمل آن

این محصول به درون باکتری ابتدا کلونی‌های سفید انتخاب و از روی آنها Colony-PCR انجام گرفت. کارایی این روش مطابق انتظار محققان حاضر بسیار بالا بود به‌گونه‌ای که در این پژوهش ۹۵-۹۰ درصد نمونه‌های کترل منفی دارای کلونی آبی و در صد نمونه‌های کترول مثبت دارای کلونی سفید بود. در ضمن روی پلیت کشت باکتری نیز کلونی‌های سفید بسیار زیادی نسبت به تعداد کمی کلونی آبی وجود داشت. روش Colony-PCR با آغازگرهای داخلی اختصاصی نشان داد که در صد بسیار بالایی از کلونی‌های انتخاب شده حاوی ژن pNS3 در پلاسمید بود (شکل ۱). پس از تأیید کلون شدن ژن، ژن تکثیر شده pNS3 با کمک هضم آنزیمی با *Bg*/II از میان پلاسمید نوترکیب بریده شده (شکل ۱) و توسط کیت استخراج از ژل از روی ژل با غلظت مناسب بازیابی شد.

به عنوان الگو در دو مرحله واکنش Nested-PCR برای تکثیر ژن pNS3 مورد استفاده و واکنش روی آگاراز ۱ در صد الکتروفورز شد. نتایج PCR روی ۴ بیمار نشان داد که این روش قادر است در ۳ بیمار ژن مورد نظر را به میزان مناسب تکثیر نماید. عدم تکثیر در یکی از نمونه‌ها شاید به دلیل مشکلات مربوط به نگهداری صحیح سرم یا عوامل تکنیکی دیگر بود. به دنبال تکثیر ژن در مرحله‌های اول و دوم به ترتیب قطعات ۱۲۸۵ و ۹۳۳ جفت‌بازی طی واکنش PCR روی ژل به دست آمد.

### ۲-۳- کلون نمودن ژن تکثیر شده در ناقل کلونینگ

پس از تخلیص ژن از ژل، ژن pNS3 با استفاده از آنزیم T4 لیگاز به درون پلاسمید TA کلون شد. بعد از ترانسفورماسیون



شکل ۱ نتایج کلون نمودن توالی pNS3 در ناقل کلونینگ؛ سمت راست) بررسی وجود ژن *Bg*/II با استفاده از هضم آنزیمی با *Bg*/II وجود دو قطعه با اندازه‌های ۹۳۰ و تقریباً ۳ کیلو باز به ترتیب نمایش گر وجود ژن و ناقل TA با ساختار صحیح در کنار نشانگر ۱ کیلو باز از شرکت Fermentas است. سمت چپ) نتایج حاصل از PCR برای تشخیص توالی pNS3 درون ناقل TA با استفاده از آغازگرهای اختصاصی؛ وجود موارد زیاد مثبت (ستون‌هایی که با ستاره (\*) مشخص شده‌اند) در بین کلون‌های انتخابی و تولید قطعه ۹۳۰ جفت‌بازی در کنار نشانگر ۱۰۰ جفت‌بازی از شرکت Fermentas قابل توجه است.

تفاوت‌های قابل توجهی بین توالی ژن کلون شده بررسی حاضر و ژن‌های مرجع حتی در مقایسه با ژن‌های ژنوتیپ ۱ ویروس نیز وجود داشت. با وجود آن‌که این ژن در حال حاضر نقشی در تعیین ژنوتیپ ویروسی ندارد؛ اما نتایج درخت فیلوزنی ترسیم شده با نرم‌افزار Megalign به خوبی تفاوت‌های ژنتیکی بین ژنوتیپ‌های گوناگون ویروس را به نمایش گذاشت. این درخت فیلوزنی ضمن افتراق ژنوتیپ‌ها از هم با یک فاصله

### ۳-۳- نتیجه تعیین توالی pNS3 و مقایسه آن با ویروس‌های مرجع

برای تأیید درستی ژن کلون شده دو نمونه از کلون‌های انتخاب شده حاوی ژن برای انجام توالی‌بازی ژنی ارسال شد. توالی خوانده شده توسط نرم‌افزار تصحیح و بازیابی شده و سپس با ژن‌های ویروس‌های مرجع با ژنوتیپ‌های دیگر مقایسه شد. با وجود آن‌که ژن NS3 نسبتاً حفاظت شده است، اما

### ۴- نتایج کلونسازی ژن در سازه بیانی IRES-pNS3

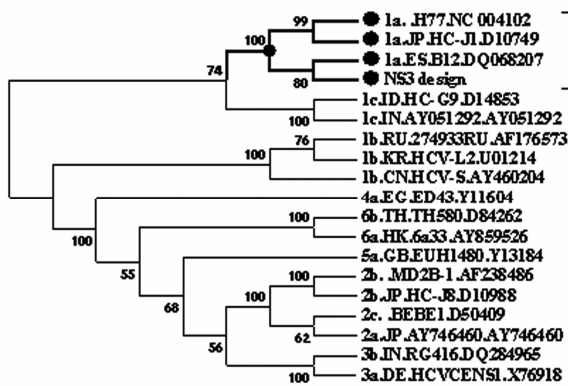
توالی استخراج شده pNS3 از ناقل کلونینگ با واکنش اتصال به درون سازه بیانی IRES کلون شد. نتایج Colony-PCR نشان داد که درصد متوسطی از کلونی‌های باکتری حاوی pNS3 درون پلاسمید بودند و روی ژل آگارز قطعه حدود ۹۳۰ جفت‌باز ایجاد می‌کردند (شکل ۳). با استفاده از آغازگرهای اختصاصی پرموتر CMV تعیین جهت ژن درون سازه IRES-pNS3 با استفاده از یک Colony PCR دیگر انجام گرفت. به دلیل این‌که آغازگر حدود ۱۵۰ باز بالاتر از کدون ATG ژن طراحی شده بود، قطعه‌ای حدود ۱۱۵۰ نوکلئوتید روی ژل پدیدار می‌شد که نشانگر جهت درست توالی pNS3 درون سازه بود (شکل ۳).

### ۵- ارزیابی بیان pNS3 در سلول‌های

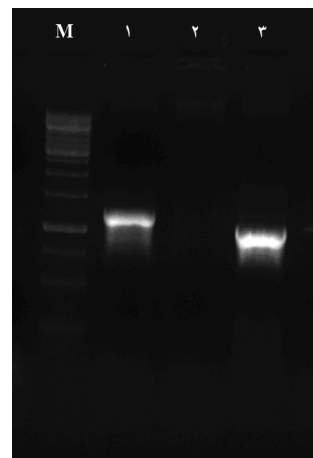
#### یوکاریوته ۲۹۳

قبل از جمع‌آوری سلول‌ها، بیان پروتئین GFP توسط میکروسکوپ فلورسانس به عنوان یک روش غربالگری انجام گرفت. وجود GFP در سلول‌ها در درجه اول نشانگر انتقال RNA مناسب سازه بیانی به درون سلول‌های ۲۹۳ است. سلول‌ها پس از لیز، با کیت استخراج RNA جداداسازی شد. عبور این قطعات روی ژل آگارز، وجود باندهای RNA ریبوزومی به عنوان ابزاری برای تعیین کیفیت آن‌ها را نشان داد. RT-PCR با استفاده از آغازگرهای اختصاصی مرحله دوم نیز با تولید یک باند ۹۳۰ جفت‌بازی وجود RNA پیک اختصاصی توالی pNS3 را تأیید کرد که در شکل ۴ نمایش داده است. با توجه به تولید RNA پیک توالی pNS3 و نیز تولید پروتئین GFP و با توجه به این‌که در سازه بیانی IRES ژن GFP و ژن مورد نظر غالب توسط یک RNA دو سیسترونی بیان می‌شود، بنابراین ظهور GFP نشانه‌ای از تولید احتمالی پروتئین pNS3 نیز هست. با این حال برای تأیید بیشتر از روش وسترن بلات استفاده شد.

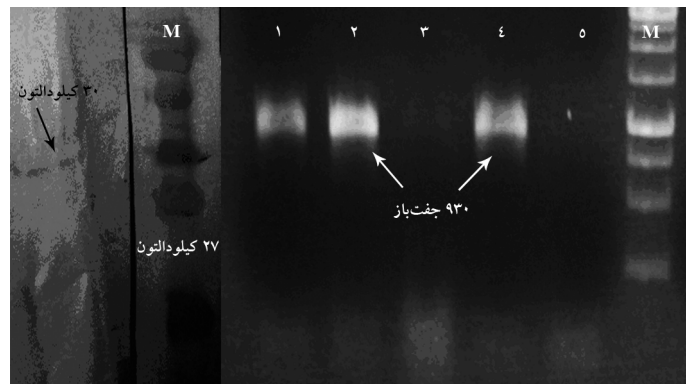
ژنتیکی مناسب، نشان می‌داد که با وجود تفاوت‌هایی در توالی pNS3 کلون شده بررسی حاضر با انواع ژن‌های مرجع، این توالی به سر شاخه ژنوتیپ ۱a ویروس وابسته است که در شکل ۲ نمایش داده شده است.



شکل ۲ درخت فیلوجنی رسم شده برای تعیین ژنوتیپ و تشابه توالی pNS3 تکثیر یافته از بیمار ایرانی؛ توالی تکثیر یافته با نام «NS3 design» در سر شاخه ژنوتیپ ۱a قرارگرفته است.



شکل ۳ تشخیص الحق و تعیین جهت توالی pNS3 به درون سازه بیانی با کمک دو PCR Colony-PCR؛ ستون ۱) PCR روی پلاسمید حاوی pNS3 و وجود قطعه تقریبی ۱۱۵۰ جفت‌باز نشانگر راست جهت بودن ژن الحق یافته pNS3؛ ستون ۲) کنترل منفی، پلاسمید IRES خالی، ستون ۳) PCR روی پلاسمید حاوی pNS3 و وجود قطعه تقریبی ۹۳۰ جفت‌باز نشانگر وجود توالی pNS3؛ ستون ۴) DNA ۱ کیلوبار از شرکت Fermentas به صورت کنترل استفاده شده است.



شکل ۴ ارزیابی بیان pNS3 با روش RT-PCR و تولید پروتئین pNS3 با وسترن بلاط توسط سازه بیانی IRES در سلول‌های ۲۹۳؛ سمت راست) نتیجه RT-PCR و بیان یک باند نزدیک به ۹۳۰ جفت‌بازی به نشانه مثبت بودن بیان ژن pNS3 آزمون اول، ستوون ۲) نمونه ترانسفکت سازه IRES-pNS3 آزمون اول، ستوون ۱) نمونه ترانسفکت سازه IRES-pNS3 آزمون دوم، ستوون ۳) نمونه کترنل سازه IRES بدون ژن، ستوون ۴) کترنل مثبت، نمونه پلاسمید حاوی ژن pNS3، ستوون ۵) کترنل منفی PCR، ستوون M (M) نشانگر ۱ کیلویاژی از شرکت Fermentas به عنوان کترنل استفاده شده است. سمت چپ) نتیجه وسترن بلاط و ظهور یک باند به اندازه تقریبی ۲۰ کیلودالتون نشانگر بیان پروتئین pNS3 است. ستوون M) نشانگر پروتئینی با شماره کاتالوگ SM1811 از شرکت Fermentas خریداری شده بود.

گرفته شده است [۲۲، ۲۳]. با نتایج امیدبخش اخیری که در کارآزمایی بالینی واکسن‌های درمانی DNA بیان کننده ژن NS3 در سوئد به دست آمده است [۱۳، ۵]؛ اهمیت این ژن در موارد طراحی و تولید واکسن‌های آتی برای ویروس HCV بهویژه سازه‌های DNA دو چندان شده است. با وجود آنکه اکثر مطالعات گذشته به مزیت‌های مختلف این‌ژن کامل NS3 اشاره نموده‌اند، اما نتایج چند مطالعه در لوله آزمایش نشان داده است که ژن کامل NS3 آثار سرکوب‌گری بر سلول‌های APC دارد [۲۴، ۱۷]. مطالعه دیگری نیز نشان داده که این ژن منجر به مرگ سلولی در سلول‌های APC می‌شود [۱۶]. از نظر تئوریک شاید یکی از علل این امر وجود خاصیت پروتئازی-هليکازی پروتئین باشد. از این‌رو حذف قسمت‌های مربوط به فعالیت پروتئازی-هليکازی و به‌کارگیری قسمتی از ژن با خاصیت این‌ژن به‌جای طول کامل ژن می‌تواند به ارتقای این‌ژن سلولی حاصل از واکسن کمک بیشتری نماید [۱۸]. در تحقیق حاضر به دلیل اهمیت این‌ژن NS3 یک سازه بیانی حامل بخش میانی آن طراحی و ساخته شد. با توجه به آثار احتمالی کاهش این‌ژن توسط طول کامل این ژن، از ناحیه‌ای در میانه ژن به عنوان توالی این‌ژن سود برده شد که در

وسترن بلاط با لیز سلول ۲۹۳ ترانسفکت شده با سازه بیانی و با بهره‌گیری از آنتی‌بادی پلی‌کلونال اولیه انجام گرفت و نتایج وجود یک باند هرچند ضعیف را در محدوده ۳۱-۳۰ کیلودالتونی نشان داد. هر چند وزن واقعی این قطعه به دلیل جدید بودن توالی برای محققان حاضر مشخص نیست؛ با این حال نتایج به دست آمده از دیگر مقالات مشابه و توالی‌های مشابه بیانگر همین اندازه است که در شکل ۴ نیز نشان داده شده است.

#### ۴- بحث

سازه‌های پلاسمیدی بیان کننده ژن‌های مختلف ویروس HCV از اوایل دهه اخیر در موارد زیادی به عنوان واکسن درمانی-پیشگیری برای ایجاد، راهاندازی یا ارتقای این‌ژن ویروس به کار گرفته شده است تا به آن‌جا که در حال حاضر چندین مورد کارآزمایی بالینی با استفاده از این پلاسمیدها انجام شده و در حال بررسی بیشتر است [۴، ۹، ۱۱۳، ۱۱]. ژن غیرساختاری NS3 یک پروتئین دوکاره با خاصیت آنزیمی پروتئازی-هليکازی است که همواره به عنوان آنتی‌ژن مناسب در واکسن‌های مختلف علیه ویروس HCV به کار رفته

فاصله ژنتیکی به خوبی تعلق توالی pNS3 تکثیر شده به شاخه 1a را مشخص نمود. به عبارت دیگر؛ شاید بتوان از ژن کامل یا ناکامل NS3 در مواردی که امکان دسترسی به توالی های دیگر ژنی وجود ندارد برای تمایز ژنتیکی بین سوش های ویروسی استفاده نمود.

مشاهده GFP در سلول های ۲۹۳ در درجه اول نشانگر انتقال مناسب سازه بیانی به درون سلول های ۲۹۳ بود؛ با این حال با توجه به دو سیسترونی بودن RNA پیک مربوط به آن با ژن pNS3 که تحت هدایت پروموتر CMV بیان می شود، دیدن GFP احتمالاً نشانه ای از تولید پروتئین pNS3 نیز بود. که این امر با نتایج بعدی RT-PCR و وسترن بلاست تأیید شد. ارزیابی بیان ژن با روش های RT-PCR و وسترن بلاست نیز نمایانگر بیان ژن و تولید پروتئین توسط سازه بیانی ۲۹۳ در سلول های یوکاریوٹی ۲۹۳ بود.

سازه جدید طراحی شده می تواند به دلیل حذف فعالیت پروتئازی ژن NS3 برای مطالعات واکسن های درمانی یا پیشگیری برای کنترل عفونت هپاتیت C و با هدف ارتقای ایمنی زایی واکسن در آینده، بیشتر استفاده شود.

## ۵- تشکر و قدردانی

این پژوهه با حمایت مالی و مساعدت معاونت پژوهشی دانشگاه تربیت مدرس و براساس طرح مصوب شماره ۶۴-۸-۸۸ انجام پذیرفته است. نویسنده گان از زحمات و راهنمایی های سرکار خانم دکتر رجبی و همچنین کارشناسان گروه ویروس شناسی کمال تشکر را دارند.

برگیرنده دو سوم انتهای دومن پروتئاز و ناحیه کوچکی از ابتدای هلیکاز است. در تحقیقی که اخیراً انجام گرفته توالی مشابه این ناحیه برای ایمنی زایی در یک واکسن مخمر بیان کننده یک ساختار مرکب ژن های NS3 و کور (Core) استفاده شده که نتایج نشان می دهد ایمنی سلولی به میزان مناسب در مدل موشی تحریک شده است و روش از سلامت کامل برخوردار است [۱۸]. تاکنون مطالعات چندانی با استفاده از قسمت های کوتاه شده از ژن NS3 انجام نشده [۲۵] و اغلب از طول کامل آن با یا بدون ژن های دیگر بهره گرفته شده است [۲۶، ۲۷]. با این وجود به نظر می رسد این طراحی جدید بیم ناشی از احتمال تداخل آنزیمی پروتئین کامل NS3 در عملکرد سلول های APC را به میزان زیادی کاهش خواهد داد.

به دلیل فراوانی ژنوتیپ ۱ ویروس در کشور و نیز پاسخ نامناسب این گروه در مقابل درمان [۲۸]، در این مطالعه از سرم بیماران مبتلا به ژنوتیپ ۱ ویروس و آغازگرهای اختصاصی برای تکثیر توالی اختصاصی مربوط به ژنوتیپ 1a ویروس استفاده شده است. نتایج تعیین توالی روش ساخت که به دنبال توالی یابی و هم ردیف نمودن توالی ها و مقایسه با توالی های مرجع و رسم درخت فیلوژنی، توالی pNS3 تکثیر شده متعلق به ژنوتیپ 1a است و بنابراین محققان حاضر به هدف خود مبنی بر تکثیر pNS3 با ژنوتیپ ۱ رسیدند. از سویی با وجود آن که این ژن در حال حاضر نقشی در تعیین ژنوتیپ ویروسی ندارد، اما نتایج درخت فیلوژنی به خوبی فاصله های ژنتیکی بین ژنوتیپ های گوناگون ویروس را به نمایش گذاشت [۲۹]. این درخت فیلوژنی ضمن توانایی در افتراق ژنوتیپ ها از هم با یک

## ۶- منابع

- [1] Houghton M, Abrignani S. Prospects for a vaccine against the hepatitis C virus. *Nature* 2005; 436(7053): 961-6.
- [2] Martin P, Inchauspe G. Hepatitis C vaccines. *Drug disco today* 2006; 3(2): 203-9.
- [3] Weiner DB. DNA vaccines: crossing a line in the sand. Introduction to special issue. *Vaccine* 2008; 26(40): 5073-4.
- [4] Alvarez-Lajonchere L, Dueñas-Carrera S. Advances in DNA immunization against

- hepatitis C virus infection. *Hum Vaccin* 2009; 5(8): 568-71.
- [5] Sällberg M, Weiland M, Frelin L. Therapeutic vaccines: challenges of chronic viral infections. *Drug Discov Today Ther Strateg* 2007; 4(4): 253-66.
- [6] Restifo NP, Ying H, Hwang L, Leitner WW. The promise of nucleic acid vaccines. *Gene Ther* 2000; 7(2): 89-92.
- [7] Ulmer JB, Wahren B, Liu MA. Gene-based vaccines: recent technical and clinical advances. *Trends Mol Med* 2006; 12(5): 216-22.
- [8] Wang B, Godillot AP, Madaio MP, Weiner DB, Williams WV. Vaccination against pathogenic cells by DNA inoculation. *Curr Top Microbiol Immunol* 1998; 226: 21-35.
- [9] Encke J, Geissler M, Stremmel W, Wands JR. DNA-based immunization breaks tolerance in a hepatitis C virus transgenic mouse model. *Hum Vaccin* 2006, 2(2): 78-83.
- [10] Inchauspé G, Michel ML. Vaccines and immunotherapies against hepatitis B and hepatitis C viruses. *J Viral Hepat* 2007; 14 Suppl 1: 97-103.
- [11] Simon BE, Cornell KA, Clark TR, Chou S, Rosen HR, Barry RA. DNA vaccination protects mice against challenge with Listeria monocytogenes expressing the hepatitis C virus NS3 protein. *Infect Immun* 2003; 71(11): 6372-80.
- [12] Lang KA, Yan J, Draghia-Akli R, Khan A, Weiner DB. Strong HCV NS3- and NS4A-specific cellular immune responses induced in mice and Rhesus macaques by a novel HCV genotype 1a/1b consensus DNA vaccine. *Vaccine* 2008; 26(49): 6225-31.
- [13] Frelin L, Alheim M, Chen A, Söderholm J, Rozell B, Barnfield C, Liljeström P, Sällberg M. Low dose and gene gun immunization with a hepatitis C virus nonstructural (NS) 3 DNA-based vaccine containing NS4A inhibit NS3/4A-expressing tumors in vivo. *Gene Ther* 2003; 10(8): 686-99.
- [14] Lemon SM, Walker C, Alter MJ, MY. Hepatitis C virus: Fields Virology. USA: Lippincott Williams & Wilkins, 2007; p: 1253-304.
- [15] Arribillaga L, Sarobe P, Arina A, Gorraiz M, Borras-Cuesta F, Ruiz J, Prieto J, Chen L, Melero I, Lasarte JJ. Enhancement of CD4 and CD8 immunity by anti-CD137 (4-1BB) monoclonal antibodies during hepatitis C vaccination with recombinant adenovirus. *Vaccine* 2005; 23(27): 3493-9.
- [16] Siavoshian S, Abraham JD, Thumann C, Kieny MP, Schuster C. Hepatitis C virus core, NS3, NS5A, NS5B proteins induce apoptosis in mature dendritic cells. *J Med Virol* 2005; 75(3): 402-11.
- [17] Krishnadas DK, Ahn JS, Han J, Kumar R, Agrawal B. Immunomodulation by hepatitis C virus-derived proteins: targeting human dendritic cells by multiple mechanisms. *Int Immunopharmacol* 2006; 22(6): 491-502.
- [18] Haller AA, Lauer GM, King TH, Kemmler C, Fiolkoski V, Lu Y, Bellgrau D, Rodell TC, Apelian D, Franzusoff A, Duke RC. Whole recombinant yeast-based immunotherapy induces potent T cell responses targeting HCV NS3 and Core proteins. *Vaccine* 2007; 25(8): 1452-63.

- [19] McPherson MJ, Moller SG, Beynon R, Howe C. PCR (Basics: from Background to Bench). Springer-Verlag Telos, 2000; p: 23-65.
- [20] Gallagher S, Winston SE, Fuller SA, Hurrell JG. Immunoblotting and immunodetection. *Curr Protoc Mol Biol* 2008; Chapter 10: Unit 10.8.
- [21] Hartoonian C, Ebtekar M, Soleimanjahi H, Karami A, Mahdavi M, Rastgoo N, Azadmanesh K. Effect of immunological adjuvants: GM-CSF (granulocyte-monocyte colony stimulating factor) and IL-23 (interleukin-23) on immune responses generated against hepatitis C virus core DNA vaccine. *Cytokine* 2009; 46(1): 43-50.
- [22] Folgori A, Capone S, Ruggeri L, Meola A, Sporeno E, Ercole BB, Pezzanera M, Tafi R, Arcuri M, Fattori E, Lahm A, Luzzago A, Vitelli A, Colloca S, Cortese R, Nicosia A. A T-cell HCV vaccine eliciting effective immunity against heterologous virus challenge in chimpanzees. *Nat Med* 2006; 12(2): 190-7.
- [23] El-Gogo S, Staib C, Lasarte JJ, Sutter G, Adler H. Protective vaccination with hepatitis C virus NS3 but not core antigen in a novel mouse challenge model. *J Gene Med* 2008; 10(2): 177-86.
- [24] Amjad M, Abdel-Haq N, Faisal M, Kamal M, Moudgal V. Decreased interferon-alpha production and impaired regulatory function of plasmacytoid dendritic cells induced by the hepatitis C virus NS 5 protein. *Microbiol Immunol* 2008; 52(10): 499-507.
- [25] Mansilla C, Gorraiz M, Martinez M, Casares N, Arribillaga L, Rudilla F, Echeverria I, Riezu-Boj JJ, Sarobe P, Borrás-Cuesta F, Prieto J, Lasarte JJ. Immunization against hepatitis C virus with a fusion protein containing the extra domain A from fibronectin and the hepatitis C virus NS3 protein. *J Hepatol* 2009; 51(3): 520-7.
- [26] Jiao X, Wang RY, Feng Z, Hu G, Alter HJ, W -K Shih J. DNA immunization encoding the secreted nonstructural protein 3 (NS3) of hepatitis C virus and enhancing the Th1 type immune response. *J Viral Hepat* 2004; 11(1): 18-26.
- [27] Simon BE, Cornell KA, Clark TR, Chou S, Rosen HR, Barry RA. DNA vaccination protects mice against challenge with Listeria monocytogenes expressing the hepatitis C virus NS3 protein. *Infect Immun* 2003; 71(11): 6372-80.
- [28] Alavian SM, Adibi P, Zali MR. Hepatitis C Virus in Iran: epidemiology of an emerging infection. *Arch Iranian Med* 2005; 8(2): 84-90.
- [29] Risipeter K, Lu M, Behrens SE, Fumiko C, Yoshida T, Roggendorf M. Hepatitis C virus variability: sequence analysis of an isolate after 10 years of chronic infection. *Virus Genes* 2000; 21(3): 179-88.